

ارزیابی اثر اورسولیک اسید در مقایسه با ایبوپروفن و دگزامتاژون در مدل سینوویوسیت برای استئواَرتیت در شرایط *Ex Vivo*

حسین مقصودی^{۱*}، معصومه الهوردى میگونی^۲

۱- گروه بیوتکنولوژی، دانشگاه پیام نور مرکز ری، تهران، ایران

۲- کارشناس ارشد بیوشیمی، دانشگاه پیام نور اصفهان، اصفهان، ایران

* آدرس مکاتبه: تهران، شهریاری، بزرگراه ورامین، سه راه تقی آباد، خیابان امین آباد، خیابان عربخواری، خیابان

مفاحر، مجتمع دانشگاه پیام نور مرکز ری، آزمایشگاه دکتر مقصودی

تلفن: ۰۲۱-۳۳۴۱۶۸۱۱-۱۵۰، نامبر: ۰۲۱-۳۳۴۱۶۸۳۱

پست الکترونیک: hossein_m2002@yahoo.com ,hosseimm2002@gmail.com

تاریخ تصویب: ۹۶/۱۱/۲۵

تاریخ دریافت: ۹۶/۷/۱

چکیده

مقدمه: استئواَرتیت شایع‌ترین بیماری مفصلی در دنیا است و در گذشته به عنوان یک بیماری دژنراتیو مفصلی شناخته می‌شد که مشخصه آن تغییر شکل غضروف و ایجاد استخوان‌های جدید در لبه‌های مفصل بود. اما این بیماری تنها یک بیماری دژنراتیو نبود بلکه ناشی از یک پدیده فعال بیومکانیکی، بیوشیمیایی و سلولی می‌باشد. درمان‌های رایج این بیماری همراه با عوارض جانبی مانند بروز زخم‌های پیتیک، خونریزی دستگاه گوارش، مسمومیت‌های کبدی و عوارض کلیوی می‌باشد. لذا برآن شدیم اثرات احتمالی ضد التهابی اسید اورسولیک، ماده مؤثره اصلی عصاره کلروفرمی گیاه مریم‌گلی *Salvia officinalis* L. را بر میزان بیان سایتوکاین‌های پیش التهابی که در استئواَرتیت مهم هستند، بررسی نماییم.

هدف: هدف اصلی از این تحقیق کاهش بیان سایتوکاین‌های پیش التهابی در مدلی شبیه استئواَرتیت در شرایط *ex-vivo* می‌باشد.

روش بررسی: از سلول‌های THP-1 و سلول‌های سینوویوسیت به عنوان مدلی شبیه به بیماری استئواَرتیت استفاده کردیم. پس از تیمار سلول‌ها توسط LPS (افزايش بیان سایتوکاین پیش التهابی)، و سپس تیمار توسط اسید اورسیلیک انجام شد. از DMSO (دی متیل سولفو اکساید) به عنوان حلال و شاهد منفی و از دگزامتاژون و NSAID به عنوان شاهد مثبت استفاده شد.

نتایج: اسید اورسولیک با غلظت $1 \mu\text{g/ml}$ باعث کاهش بیان سایتوکارین‌های پیش التهابی TNF- α , iL-1 β , iL-18, iNOS و COX-2 در مدلی شبیه به استئواَرتیت می‌شود.

نتیجه گیری: نتایج به دست آمده از این تحقیق نشان می‌دهد که اسید اورسیلیک از طریق کاهش بیان سایتوکارین‌های پیش التهابی در مدلی شبیه به استئواَرتیت می‌تواند باعث روند بهبودی بیماری شود و برای این منظور بررسی آن در شرایط *in-vivo* توصیه می‌شود.

گل واژگان: استئواَرتیت، اسید اورسولیک، سایتوکاین‌های پیش التهابی، سینوویوسیت، THP-1

مقدمه

کاربرد صحیح) در مقایسه با داروهای شیمیایی بسیار ناچیز و در بسیاری از موارد قابل چشم پوشی است و هزینه آن نیز کم است [۱۳]، لذا تصمیم گرفتیم تا تاثیر ضد التهابی اسید اورسولیک ماده موثره اصلی عصاره کلروفرمی گیاه مریم‌گلی را مورد بررسی قرار دهیم.

گیاه مریم‌گلی یا ساج از خانواده نعناع، یومی چندساله، کم درختچه، متعلق به مدیترانه است و خانواده آن شامل بیش از ۹۰۰ گونه است [۱۴]. مریم‌گلی با نام علمی (*Salvia officinalis L.*) متعلق به خانواده Labiatea، گیاهی چندساله، پرشاخه به ارتفاع ۳۰-۶۰ سانتی‌متر با ظاهری پرپشت است. گل‌ها در فاصله ماههای خرداد و تیر ظاهر می‌شوند و به صورت گروههای ۳ تا ۴ تایی در طول قسمت‌های انتهایی ساقه پدید می‌آیند برگ این گیاه دارای اسانس تانن و یک ماده تلخ است. اسانس آن از نوع وحشی تهیه می‌شود. مایعی زرد رنگ یا زرد متمایل به سبز و دارای بوی مخصوص می‌باشد. وزن مخصوص آن در دمای ۱۵ درجه سانتی‌گرا ۰/۹۲۵ و ۰/۹۹ می‌باشد. این اسانس که در ۱ تا ۲ قسمت الکل ۸۰ درجه حل می‌شود، دارای معادل ۵۰ درصد از نوعی ستون به نام تیون است که به اسامی سال ویول، سال وون، سال ویون نیز نامیده می‌شود که مشابه تاناستون تشخیص داده شد. به علاوه این اسانس دارای پین، سنتول، بورنئول راست و چپ می‌باشد [۱۵]. مریم‌گلی یکی از چند گیاه اصلی دارویی است که آسیا و سراسر جهان برای درمان التهاب به کار برده می‌شود [۱۶]. این گیاه در درمان بیماری نقرس، روماتیسم مزمن، آزالیم، سرگیجه‌های عصبی، سردردهایی با منشاء عصبی یا ناشی از سوء هاضمه، سرماخوردگی و دردهای ناحیه شکمی اثرات نافع دارد [۱۷]. تحقیقاتی که در برزیل انجام شد، نشان می‌دهد که استعمال موضعی عصاره مریم‌گلی میزان التهاب را کاهش می‌دهد [۱۸]. این گیاه بیشتر در حوزه مدیترانه، در جنوب شرق آفریقا و در قسمت مرکزی و جنوب آمریکا، رشد می‌کند [۱۹]. از ۹۰۰ گونه این گیاه ۱۷ گونه آن مختص ایران بوده و رویشگاه اصلی آن ایران است [۲۰]. فرمول شیمیایی اسید اورسولیک (UA) (3β -hydroxy-urs-12-en-28-oic acid) می‌باشد که از تری‌ترپن‌وئیدهای شش عضوی حلقه‌ای با اتصالات

التهاب مکانیسم دفاعی بدن در مقابل عوامل زیان‌آور مانند آرژن‌ها، سلول‌های آسیب‌دیده و پاتوژن‌ها می‌باشد که پاسخ غیرمستقیم اینمی بدن در قبال بافت‌های آسیب دیده می‌باشد [۱، ۲]. فاکتورهای فیزیکی، شیمیایی و عوامل بیولوژیکی از طریق تعدادی از واسطه‌ها باعث ایجاد التهاب می‌شوند [۳]. تغییرات دژنراتیو در مفاصل ملتهب از طریق تولید بیش از حد سایتوکین‌های پیش التهابی مانند ایترولوکین ۱ (IL-1 β) و تو默 نکروزیس آلفا (TNF- α)، ایجاد می‌شوند. افزایش این سایتوگین‌ها باعث متوقف شدن تولید پروتولیکان‌ها و کلژن نوع ۲ می‌شوند که درنهایت از طریق آنزیم‌های تخریب‌کننده غضروف مانند متالوپروتیناز، باعث تخریب ماتریکس غضروفی می‌شوند [۴]. این سایتوگین‌ها همچنین باعث افزایش بیان سیکلواکسیژناز ۲ (COX2) و نیتریک اکساید سنتاز (NO) که آنزیم قوی پیش التهابی هستند و نقش مهمی در افزایش پروستاگلاندین‌ها و نیتریک اکساید سنتازدارند، می‌شوند [۵]. از آنجایی که تخریب غضروفها رابطه مستقیم با سطوح سایتوکین‌های پیش التهابی (COX2), (IL-1 β), iNOS, (TNF- α) دارد، استفاده از ترکیباتی که باعث مهار این واسطه‌های پیش التهابی می‌شود، استراتژی درمانی مناسب برای کنترل علائم استئوآرتیزی می‌باشد [۷]. اگر این عوامل کنترل نشوند منجر به بیماری‌های مزمن از قبیل استئوآرتیت، دیابت ملیتوس نوع ۲، آسم و بیماری‌های قلبی عروقی می‌شوند [۸]. داروهایی که اثر ضد التهابی دارند و مصرف آن امروزه رایج است، دارای عوارض جانبی مانند آکنه متوسط، سندروم کوشینگ، و بیماری‌های قلبی عروقی می‌باشند [۹، ۱۰]. از سوی دیگر داروهای طبیعی اینمن تر هستند و پتانسیل درمانی بالای دارند. چندین گیاه با فرمول بندهای ترپن‌وئیدی مانند اسید اورسولیک (UA) و اسیداولنولیک (OA)، مورد بررسی قرار گرفتند و به عنوان عوامل ضد التهابی در نظر گرفته شدند [۱۱]. این متابولیت‌ها خطر کلی بیماری‌های التهابی را از طریق کاهش سایتوگین‌ها مختلف، کم می‌کنند [۱۲]. از آنجایی که پرورش گیاهان دارویی در ایران از موقعیت خوبی برخوردار است و عوارض جانبی و سمی گیاهان دارویی (در صورت



ها تا چهار مرتبه انجام شد (در اصطلاح به چهار نسل اطلاق می‌شود) [۲۵].

سلول‌های THP-1 از انسنتیتو پاستور تهیه شد و پس از انتقال به آزمایشگاه در انکوباتور با شرایط 5 CO_2 ٪، دما 37°C درجه سانتی‌گراد و رطوبت ۹۵ درصد نگهداری شد. بعد از رسیدن تراکم سلول‌ها به بیشتر از ۸۰ درصد اقدام به شمارش سلول‌هاد توسط محلول تریپان بلو $0/4$ درصد نموده و درصد زنده‌مانی سلول‌ها تعیین و سلول‌هایی با ۹۵ درصد زنده‌مانی برای کشت بعدی انتخاب شد [۲۶].

Bovine (BFLS) and THP-1 Fibroblast-like synoviocyte

در رابطه با تأییدیه سلول‌های فیبروبلاست، برای اینکه اندازه‌گیری بیان سایتوکین‌های پیش التهابی و التهابی فقط در سلول‌های فیبروبلاست شبه سایتوپیوسمیت صورت گیرد و به دلیل اینکه مایع مفصلی علاوه بر سلول‌های سینوویال دارای سلول‌های متفاوتی مانند: مونکلثار می‌باشد، که این گروه از سلول‌ها قادر خاصیت تکثیر و تزايد می‌باشند و به دلیل اختلالی که در اندازه‌گیری سایتوکین‌های موردنظر ایجاد می‌کنند، کشت اولیه سلول‌ها، چهار الی پنج کشت یا پاساز متوالی داده خواهد شد تا سلول‌های مونکلثارها به تدریج از محیط کشت همراه با دری خارج شوند (از مشخصات اصلی سلول‌های مزانشیمال چسبندگی به پلیت می‌باشد ولی سایر سلول‌ها این حالت را ندارند). بعد از پنجمین کشت و لیز سلولی برای تأیید BFLS از آنتی‌بادی ویمنتین (Vimeticin) که مارکر اختصاصی سلول‌های مزانشیمال است [۲۷]، استفاده می‌شود، حضور یک بند به وزن مولکولی 55 KDa نمایانگر واکنش اختصاصی Vimeticin با سلول‌های BFLS و عدم واکنش با سلول‌های ماکروفاز است (شکل شماره ۱). به منظور حصول اطمینان از عدم آلودگی سلول‌های THP-1 (شبیه مونوسیت/ماکروفاز)، از تست بیان CD-14 [۲۸] (گیرنده

ترانس و سیس می‌باشد) [۲۱]. UA در اسید استیک بسیار سرد و NAOH الکلی قابلیت حل شدن دارد [۲۲]. این اسید از اسکوالن یا ۲ و ۳ اکسیدواسکوالن که از ایزوپنتیل بیروفسفات (IPP) در سلول‌های گیاهی ستر می‌شوند، تولید می‌شوند. بتا آمیران سیتاز (BAS) و آلفا آمیران سیتاز (AAS)، اکسیدواسکوالن سیکلазی هستند (آنژیمهای درون سلولی) که اکسیدواسکوالن را به بتا آمیران و آلفا آمیران تبدیل می‌کنند در ادامه تنها گروه متیل در کرین C-28 (از بتا آمیران و آلفا آمیران به اسید کربوکسیلیک اکسیده می‌شود و درنهایت اسید اورسولیک تولید می‌شود) [۲۳، ۲۴].

مواد و روش‌ها

کشت سلولی کندروسیت‌ها و THP-1

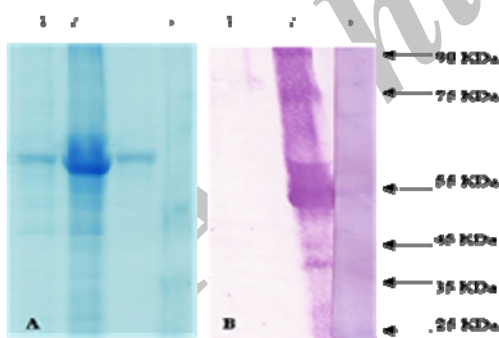
برای جداسازی سلول‌های سینوپیوسمیت از مایه مفصلی، مفصل Metacrapal joint گوساله هشت ماهه سالم استفاده شد. بعد از گشتن گوساله و جدا نمودن مفصل موردنظر و قرار دادن در گیسه استریل و داخل یخ به آزمایشگاه ارسال شد. در آزمایشگاه بعد از شستشو و برداشتن کامل پوشش خارجی قلم دست گوساله، و ضد عفونی مفصل موردنظر با اتانل ۷۰٪ و بتادین، توسط سوزن نمره ۱۶ مایه مفصلی کشیده شده و بلافارسله به محیط کشت DMEM-F12 (GIBCO Life technologies, UK) غنی شده با سرم جنین گاوی ۱۰٪ (GIBCO Life technologies, UK) و ترکیب آنتی‌بیوتیک‌ها شامل: پنیسیلین 100 Unit/ml ، استرپتومایسین $100\text{ }\mu\text{g/ml}$ ، پنیسیلین 100 Unit/ml ، جنتامایسین $50\text{ }\mu\text{g/ml}$ (داروپخش، ایران) و آمفوتیریسین ب.ب. 50 mg/ml در داخل فلاکسکهای 25 cm^2 در انکوباتور با شرایط 5 CO_2 ٪، دما 37°C درجه سانتی‌گراد و رطوبت ۹۵ درصد نگهداری شد.

بعد از رسیدن تراکم سلول‌ها به بیشتر از ۸۰ درصد اقدام به شمارش سلول‌هاد توسط محلول تریپان بلو $0/4$ درصد نموده و درصد زنده‌مانی سلول‌ها تعیین و سلول‌هایی با ۹۵ درصد زنده‌مانی برای کشت بعدی انتخاب شد و کشت دوباره سلول



شماره ۱ و ۲. در طول موج ۵۷۰ nm با افزایش غلظت اسید اورسولیک میزان از بین رفتن سلول‌ها افزایش و درنهایت اسید اورسولیک در غلظت ۱ µg/ml باعث از بین رفتن ۵۰ درصد جمعیت سلولی می‌شوند که همان LC50 می‌باشد و چون باید کمترین مرگ سلولی را حین آزمایش داشته باشیم از این غلظت در تحقیق خود استفاده کردیم.

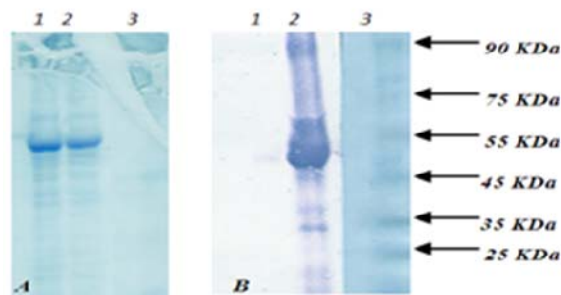
تقسیم‌بندی گروه‌های سلولی (در هر دو نوع سلول) جهت اندازه‌گیری میزان بیان ژنی سایتوکین‌های پیش‌التهابی برای اندازه‌گیری میزان بیان ژنی سایتوکین‌ها، در ابتدا از طریق تیمار سلول‌ها با LPS، استئوارتیریت را در آنها القا می‌کنیم. سپس این سلول‌های مبتلا به استئوارتیریت را به گروه‌های جداگانه تقسیم می‌کنیم: ۱- گروه اول همان شاهد منفی است که شامل سلول + DMSO می‌باشد که در اینجا به عنوان حلال و دارونما استفاده می‌شود- ۲- گروه دوم همان شاهد مثبت است که شامل سلول + داروهای استروئیدی (دگزاماتازون) و غیراستروئیدی (ایبوپروفن) می‌باشد- ۳- گروه سوم شامل سلول + ماده مؤثره اسید اورسولیک می‌باشد. میزان بیان ژنی سایتوکین‌های پیش‌التهابی را بین گروه‌ها مقایسه می‌کنیم.



شکل شماره ۲ - تعیین عدم آلدگی سلول‌های سینوویوسیت در نسل چهارم توسط ماکروفاز، چاهک شماره ۱ در هر دو شکل مربوط به سلول‌های سینوویوسیت نسل چهارم، چاهک شماره ۲، در هر دو شکل مربوط به سلول‌های سینوویوسیت نسل اول.

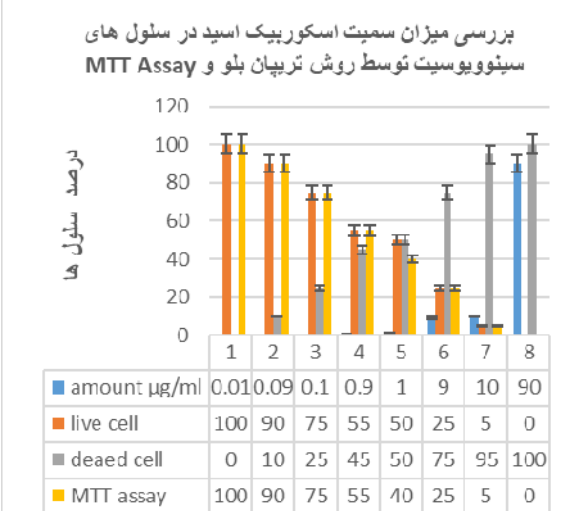
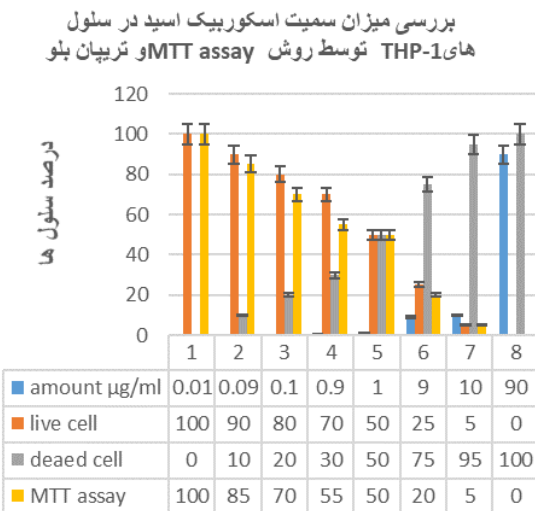
مذکور در سطح سلولی مونوکیت / ماکروفاز وجود دارد از طریق آنتی CD-14 با روش Western blot استفاده شد. حضور یک بند به وزن مولکولی ۵۵ KDa نمایانگر واکنش اختصاصی Anti CD ۱۴ با سلول‌های ماکروفاز و عدم واکنش با سلول‌های BFLS می‌باشد (شکل شماره ۲).

تعیین سایتوتوکسیتی توسط MTT assay و تریپان بلو بعد از کشت سلول‌ها و شمارش نهایی آنها توسط تریپان بلو، جهت بررسی اثر سایتوتوکسیتی اسید اورسولیک و تعیین LC50 از روش MTT assay استفاده شد [۲۹]. پودر MTT یک نمک تترازولیوم محلول در آب است که این محلول در محیط کشت فاقد فلز رد یا بافر PBS حل می‌شود و ترکیب زرد رنگ ایجاد می‌کند. اساس این تست، شکستن نمک MTT توسط آنزیم سوکسینات دهیدروژنار (SDH) میتوکندریایی زنده است. نتیجه این کار ایجاد بلورهای نامحلول فرمازان ارغوانی رنگ است که توسط DMSO به حالت محلول در می‌آید. هر چه سلول‌ها فعال‌تر و تعداد بیشتر، میزان رنگ ایجاد شده بیشتر است. جذب نوری رنگ ارغوانی ظاهر شده در طول موج ۴۹۰-۵۴۰ nm می‌شود (نمودار



شکل شماره ۱ - SDS-PAGE شکل A و Western blot شکل B. چاهک ۱ در هر دو تصویر مربوط به لیز سلولی بدون آنتی‌بادی، چاهک ۲ در هر دو تصویر مربوط به لیز سلولی به علاوه آنتی‌بادی wimentin.





نمودار شماره ۱ و ۲ - نتایج *THP-I Bovine Fibroblast-like synoviocyt* در MTT Assay و سلولهای

جداسازی RNA

با استفاده از Trypsin EDTA، تریپسین پیوند پیتیدی تشکیل شده توسط گروه کربوکسیل اسید آمینه لیزین یا آرژنین با سایر اسیدهای آمینه را می‌شکند پس باعث آزاد شدن اتصال سلولها از کف پلیت می‌شود و طبق پروتکل RNA را استخراج می‌کنیم.

تعیین غلظت RNA با استفاده از روش اسپکتروفوتومتری ژل آگاروز ۱ درصد

اسپکتروفوتومتر یا طیفسنج، دستگاهی است که شدت نور را به صورت تابعی از طول موج اندازه‌گیری می‌کند. در حقیقت این دستگاه با استفاده از میزان جذب نور، غلظت مربوطه را تعیین می‌کند. برای بررسی خلوص RNA های استخراج شده می‌توان از نسبت جذب نوری در طول موج‌های ۲۶۰ و ۲۸۰ نانومتر (A_{260}/A_{280}) استفاده کرد. این نسبت باید در بهترین حالت بین ۱/۸ تا ۲ باشد و نسبتهای کمتر نشان‌دهنده‌ی آلودگی RNA با DNA و پروتئین می‌باشد. میزان ۵ لاندا از RNA جدا شده از هر یک از نمونه‌ها به همراه ۱ لاندا $\times 6 \times$ DNA Loading Dye پس از آنکه مخلوط کردیم به آگاروز ژل ۱ درصد تزریق می‌کنیم. جریان الکتریسیته در دستگاه الکتروفورز برای مهاجرت نمونه‌ها برقرار شد و معمولاً

تحریک و تیمار سلول‌ها توسط LPS

به منظور فراهم کردن شرایطی شبیه به بیماری و افزایش بیان سایتوکین‌های پیش التهابی از LPS [۳۰]، به میزان ۲۰ میلی لیتر/نانوگرم استفاده شد. ابتدا $10^6 \times 6$ سلول را در محیط کشت، کشت دادیم. پس از ۷۲ ساعت میزان ۱۰۰ نانوگرم LPS به محیط اضافه شد. پلیت‌ها را به مدت ۲۴ به منظور بیان سایتوکین‌های پیش التهابی مانند $iNOS$, $iL-1\beta$, $TNF-\alpha$, $COX-1$, $COX-2$ در انکوباتور دی اکسید کربن نگهداری شد.

تیمار سلول‌ها توسط گلوکورتیکوئیدها

در این مطالعه از دگراماتازون به عنوان کنترل مثبت که توانایی کاهش بیان سایتوکین‌های پیش التهابی را دارد با دوز ۱-۱۰۰ nanoM استفاده شد [۳۱].

تیمار سلول‌ها با Non-steroidal anti-inflammatory drugs (NSAIDs)

در این بررسی برای مقایسه اثر ضد التهابی Ursolic acid با داروهای NSAIDs از ایبوپرو芬 به منظور کاهش بیان سایتوکین‌های پیش التهابی با دوز ۵۰-۱۰۰ nanoM در سلول‌های تحریک شده توسط LPS استفاده شد [۳۲].



مرحله بعدی *cDNA* به عنوان *DNA* الگوی توسط روش *RT-PCR* استاندارد تکثیر می‌یابد [۳۳].

RT-PCR

RT-PCR استاندارد یک روش فوق العاده حساس، سریع و متنوع برای بررسی بیان ژن موردنظر می‌باشد که توانایی تشخیص کپی‌های بسیار کم از مولکول‌های *RNA* را فراهم می‌کند. از طرفی این روش قادر است اطلاعات نیمه کمی درباره میزان بیان ژن در یک سلول یا بافت را ارائه نماید. در حالت استاندارد *RT-PCR* تنها قادر به تعیین وجود یا عدم وجود نسخه‌های *mRNA* می‌باشد ولی اطلاعات کمی میزان بیان ژن را ارائه نمی‌دهد. با ایجاد تغییراتی در روش استاندارد، می‌توان *RT-PCR* را برای تعیین کمیت *mRNA* در یک نمونه و یا تخمین میزان بیان نسبی *mRNA* بین انواع سلول‌ها به کار برد. جدول شماره ۱ مراحل Real Time PCR را نشان داده است [۳۳].

Semiquantitative PCR

به منظور ارزیابی اثر مهاری اسید اورسولیک بر بیان ژنی سایتوکین‌های پیش التهابی، میزان بیان ژنی این سایتوکین‌ها از طریق *mRNA* اختصاصی تولید شده توسط ژن‌های موردنظر اندازه‌گیری شد. جهت این ارزیابی، ابتدا از طریق *Real-Time PCR* و پرایمرهای اختصاصی و *Total cDNA* حاصل از *RT-PCR* که قبلاً توضیح داده شد، میزان *mRNA* اختصاصی هر یک از ژن‌های موردنظر ارزیابی شدند و با پرایمرهای آمده اختصاصی هر کدام از سایتوکین‌های مورد مطالعه که سکانس‌های آنها از قبل مشخص بود (جدول شماره ۲)، مقایسه شدند. ژن GAPDH به عنوان ژن خانه‌دار استفاده شد. شرایط استاندارد PCR انجام شد و فرآورده PCR در آگاروز ۱/۵ درصد همراه با اتیدیم بروماید ۵ µg/ml چک شد و نتایج نهایی از طریق روش‌های آماری زیر مورد تجزیه و تحلیل قرار گرفتند.

به ازای ۱ سانتی‌متر از طول مخزن ۵ تا ۱۰ ولت جریان در نظر گرفته می‌شود در این مطالعه از مختصات زیر استفاده شد: ولتاژ ۹۰ و جریان ۵۰ یا ۴۵ میلی‌آمپر به مدت ۴۵ دقیقه. تخمین غلط نهایی *RNA* بر اساس درخشندگی بند مشاهده شده که این تکنیک به تجربه نیاز دارد بر اساس درخشندگی بند مقایسه آن با درخشندگی بند مشابه در مرکز مولکولی تزریق شده به آگاروز، با توجه به این نکته که مارکر مولکولی از تعداد زیادی بند تشکیل شده است و هر کدام از بندها دارای غلط خاصی برحسب میزان تزریق شده دارند، پس با مقایسه بند اصلی و بند مشابه در مولکول از مارکر می‌توان تخمین زده شود که میزان غلط *RNA* تخلیص شده چه میزان است. در مقایسه بین دو روش تفاوت معناداری وجود نداشت و غلط در دو روش برابر با ۱ ماکروگرم در یک ماکرولیتر بود [۳۷].

DNAse I

تیمار با آنزیم *DNAse I* به منظور جلوگیری از آلدگی *RNA* توسط *DNA* در مراحل تخلیص و جلوگیری از ممانعت تأثیر *DNA* در تأثیر مواد شیمیایی در مراحل بعد این تیمار انجام می‌شود. برای تیمار کردن نمونه‌های *RNA* از کیت فرمتاز شامل (*EDTA*, *DNase*, بافر آب مولکولی و بازدارنده‌ی *RNase inhibitor*) *RNase* استفاده شد.

تولید رشته مکمل (cDNA) یا DNA از *RNA* استخراج شده از سلول‌های ساینوفیوستیت به منظور بیان ژن‌ها نیازمند به تعیین دقیق میزان *mRNA* می‌باشد. از طرفی اساس *PCR* تکثیر *DNA* به عنوان الگوی اسید نوكلئیکی است نه بر اساس *RNA*. بنابراین لازم است در مرحله نخست *RNA* با استفاده از روش نسخه‌برداری معکوس *cDNA* یا *DNA* تبدیل شود که تحت عنوان *Complementary DNA* یا *cDNA* شناخته می‌شود. *cDNA* به عنوان الگو توسط آنزیم نسخه‌بردار معکوس و آنزیم *DNA polymerase* ساخته شده است و در



جدول شماره ۱- شرایط زمانی و حرارت و تعداد سیکل مورد نیاز سایتوکین ها در Real-Time PCR

مراحل RT-PCR	دما	سیکل	
		زمان	ردیف
۱	وا سرشهتازی اولیه	۹۵ درجه سانتی گراد	۹۰ دقیقه ۱
۲	واسرستگی	۹۵ درجه سانتی گراد	۱۵ ثانیه ۴۰
۳	اتصال پرایمر	۶۰ درجه سانتی گراد	۳۰ ثانیه ۴۰
۴	بسط پرایمر	۷۲ درجه سانتی گراد	۳۰ ثانیه ۴۰
۵	بسط	۷۲ درجه سانتی گراد	۱۰ دقیقه ۱

جدول شماره ۲- توالی نوکلئوتیدی، نقطه ذوب پرایمرهای مورد استفاده و اندازه محصول PCR بیان شده است.

PCR Product size	دما		Reverse 5' to 3'	Forward 5' to 3'	نام پرایمر	ردیف
	Reverse	Forward				
200 bp	52 °C	52.9 °C	5'-TG AGT ATC TTT GAC TGT GGG A-3'	3'-CTC TTC CTC CTG TGC CTG AT-5'	B.COX-2	1
200 bp	59.4 °C	61 °C	5'-GCA AGG GCT CTT GAT GGC AGA-3'	3'-TAA CAA GCC GGT AGC CCA CG-5'	TNF -α	2
200 bp	57.2 °C	56.5 °C	5'-ATC TGC AGC TGG ATG TTT CCA T-3'	3'-TTC TCT CCA GCC AAC CTT CTA T-5'	B.IL-1β	3
200 bp	70.4 °C	71.5°C	5'-GGT GCT GCT TGT TAG CAG GTC AAG TAA AGG GC- 3'	3'-CGG TGC TGT ATT TCC TTA CGA GGC GAA GAA GG-5'	B.iNOS	4
200 bp	56.7 °C	56.3 °C	5'-CGC TCC TGG AAG ATG GTG AT -3'	3'-ATT CCA CCC ACG GCA AGT T-5'	B.GAPDH	5
200 bp	59.4 °C	55.8 °C	5'- -AGC TGA GCA GGA ACC TGT GC-- 3'	3'- -CTG GAA GCC GGC G- -5'	B.CD14	6

نتایج

آنالیز ابتدا توسط روش Pffafi $\Delta\Delta C$ و سپس از نرم افزار REST version 2009 برای آنالیز کمی استفاده شد. آنالیز نتایج Real time-PCR به روش Pffafi ΔC یا $\Delta\Delta C$ انجام می شود.

آنالیز آماری

تمامی داده ها به عنوان میانگین $\pm SD$ بیان شده است. آنالیز آماری با استفاده از آنالیز یک سویه واریانس (ANOVA)، نرم افزار REST version 2009 و REST version 2009 و نرم افزار SPS2000 اجرا شده است. برای آنالیز $P < 0.05$ ، CT به شکل آماری معنی دار در نظر گرفته شده است.

ج- اثر اسید اورسولیک بر روی *Bovine iNOS*

اسید اورسولیک باعث کاهش بیان *iNOS* در سلول‌های BFLS تحریک شده توسط LPS به میزان ۵۵/۵ درصد شده است. این نتیجه در مقایسه با نتایج گروه تیمار شده با استروئید و غیراستروئید که برای کاهش بیان ژن موردنظر استفاده شده بودند، معنی است. لازم به ذکر است در گروه شاهد منفی هیچ تغییری در میزان بیان ژن مورد نظر ایجاد نشد (نمودار شماره ۳).

د- اثر اسید اورسولیک بر روی *iL-1 β*

اسید اورسولیک باعث کاهش بیان *iL-1 β* در سلول‌های BFLS تحریک شده توسط LPS به میزان ۴۷/۹ درصد شده است. این نتیجه در مقایسه با نتایج گروه تیمار شده با استروئید و غیراستروئید که برای کاهش بیان ژن موردنظر استفاده شده بودند، معنی دار است. لازم به ذکر است در گروه شاهد منفی هیچ تغییری در میزان بیان ژن موردنظر ایجاد نشد (نمودار شماره ۳).

ه- اثر اسید اورسولیک بر روی *TNF-α* در THP-1

اسید اورسولیک باعث کاهش بیان *TNF-α* در THP-1 در سلول‌های تحریک شده توسط LPS به میزان ۵۴/۸۵ درصد شده است. این نتیجه در مقایسه با نتایج گروه تیمار شده با استروئید و غیراستروئید که برای کاهش بیان ژن موردنظر استفاده شده بودند، معنی دار است. لازم به ذکر است در گروه شاهد منفی هیچ تغییری در میزان بیان ژن موردنظر ایجاد نشد (نمودار شماره ۴).

و- اثر اسید اورسولیک بر روی *IL-1 β* در THP-1

اسید اورسولیک باعث کاهش بیان *IL-1 β* در سلول‌های تحریک شده توسط LPS به میزان ۴۷/۹ درصد شده است. این نتیجه در مقایسه با نتایج گروه تیمار شده با استروئید و غیراستروئید که برای کاهش بیان ژن موردنظر استفاده شده بودند، معنی دار است. لازم به ذکر است در گروه شاهد منفی هیچ تغییری در میزان بیان ژن موردنظر ایجاد نشد (نمودار شماره ۴).

$$2^{-\Delta\Delta C} = \text{Expression Ratio}^{\text{ct}}$$

CT = $\Delta\Delta C$ Calibrator - C main cytokine

CT = ($\Delta\Delta CT$ main cytokine - CT GADPH) - (CT sample positive - CT GADPH)

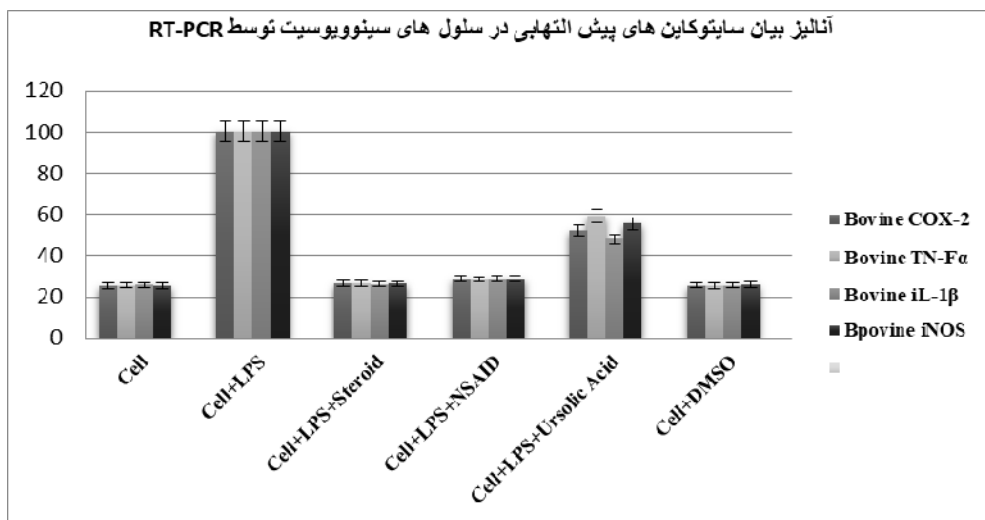
ابتدا CT هر نمونه برای ژن رفرنس و اصلی با تعیین خط پایه محاسبه شد. سپس اختلاف CT ژن هدف و ژن GADPH و همچنین اختلاف CT نمونه کنترل مثبت و ژن GADPH محاسبه شد. که به آن ΔCT GADPH می‌شود. سپس $\Delta\Delta CT$ محاسبه شد. یعنی ΔCT هر نمونه از $\Delta\Delta CT$ تیمار شاهد تغیریق شد. در این فرمول بازده ۱۰۰ درصد فرض شد و در انتها برای مقایسه نتایج از آزمون t-student استفاده شد. نتیجه آنالیز آزمون‌های انجام شده مؤید درستی نتایج تحقیق ما هستند.

الف- اثر اسید اورسولیک بر روی *Cox-2*

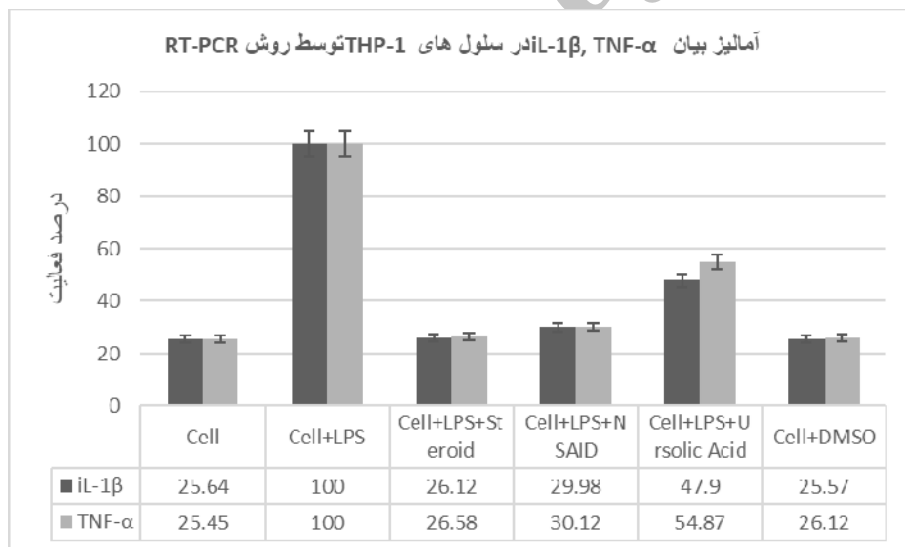
اسید اورسولیک باعث کاهش بیان ژنی آنزیم *Cox-2* در سلول‌های تحریک شده توسط LPS به میزان ۵۲/۴۶ درصد شده است. این نتیجه در مقایسه با نتایج گروه تیمار شده با استروئید و غیراستروئید که برای کاهش بیان ژن موردنظر استفاده شده بودند، معنی دار است. لازم به ذکر است در گروه شاهد منفی هیچ تغییری در میزان بیان ژن موردنظر ایجاد نشد (نمودار شماره ۳).

ب- اثر اسید اورسولیک بر روی *TNF-α*

اسید اورسولیک باعث کاهش بیان *TNF-α* در سلول‌های BFLS تحریک شده توسط LPS به میزان ۵۹/۲۷ درصد شده است. این نتیجه در مقایسه با نتایج گروه تیمار شده با استروئید و غیراستروئید که برای کاهش بیان ژن موردنظر استفاده شده بودند، معنی دار است. لازم به ذکر است در گروه شاهد منفی هیچ تغییری در میزان بیان ژن موردنظر ایجاد نشد (نمودار شماره ۳).



نمودار شماره ۳- تأثیر عصاره اسید اورسولیک بر بیان سیتوکین های التهابی B.TNF- α , B.IL-1B , B.iNOS, B.COX-2, B.TNF- α در سلول های BFLS با استفاده از Real-Time PCR تیمار سلول های BFLS به مدت ۷۲ ساعت و سپس اضافه کردن LPS به میزان ۲۰ ng و نگهداری در انکوباتور به مدت ۱ ساعت سپس لیز سلول ها و جدا کردن mRNA و تولید CDNA و انجام RT-PCR و انجام mRNA و تولید mRNA و انجام RT-PCR در انتها انجام Real-Time PCR به منظور اندازه گیری بیان سیتوکین های پیش التهابی B.TNF- α , B.IL-1B , B.iNOS, B.COX-2 در شش گروه مورد نظر. بیان ژن در گروه ها نسبت به گروه Cell+LPS سنجیده می شود. اختلاف آماری قابل توجه بین گروه Cell+LPS و سایر گروه ها بوسیله t- student و ANOVA آندازه گیری شد (n=۳).



نمودار شماره ۴- تأثیر عصاره اسید اورسولیک بر بیان سیتوکین های التهابی، TNF- α و IL-1B در سلول های THP-1 با استفاده از Real-Time PCR تیمار سلول های THP-1 به مدت ۷۲ ساعت و سپس اضافه کردن LPS به میزان ۲۰ ng و نگهداری در انکوباتور به مدت ۱ ساعت سپس لیز سلول ها و جدا کردن mRNA و تولید CDNA و انجام RT-PCR در انتها انجام Real-Time PCR به منظور اندازه گیری بیان سیتوکین های پیش التهابی، B.IL-1B , B.TNF- α در گروه های مورد نظر، بیان ژن در گروه ها نسبت به گروه Cell+LPS سنجیده می شود. اختلاف آماری قابل توجه بین گروه Cell+LPS و سایر گروه ها بوسیله t- student و ANOVA آندازه گیری شد (n=۳).

بحث

در موشی که نسبت به پیوند مقاومت نشان می‌داد را نشان دادند که درنهایت باعث کاهش این عالم شد [۴۱]. در مطالعه دیگری Vasconcelos نشان داد که مصرف خوراکی اسید اورسولیک و اسید اولینولیک در دوز خاص بر اسید استیک که باعث القا درد شکمی در موش می‌شود، اثر مهاری دارد که اثر مهاری اسید اورسولیک (40 mg/kg) شبیه به اثر مهاری استیل سالیسیک (100 mg/kg) می‌باشد و در نمونه‌ای که کاراجینان باعث ایجاد ورم پنجه در موش‌ها شده بود، مصرف خوراکی اسید اورسولیک و اسید اولینولیک به میزان (40 mg/kg) منجر به کاهش ورم شد [۴۲]. در یک مطالعه Baricevic و همکارانش به بررسی فعالیت ضد التهابی اسید اورسولیک در شرایط Invitro و *Invivo* مانند القا ادم در موش آلبینو سوئیسی، پرداختند [۴۸]. بعد از اینکه سلول‌های موش آلبینو توسط اسید اورسولیک تیمار شدند، میزان سایتوکین‌های پیش التهابی مانند این‌ترلوکین ۲ ($\text{IL}-2$)، این‌ترفرون گاما ($\text{IFN}-\gamma$) و تومر نکروزیس آلفا ($\text{TNF}-\alpha$)، کاهش یافت [۴۳]. در تحقیق دیگری Nataraj و همکارانش اثر مهاری اسید اورسولیک را بر آنزیم‌های التهابی مانند فسفولیپاز ۲ ($\text{PLA}2$) نشان دادند [۴۴]. در مطالعات دیگری LU و همکارانش اثر مهاری اسید اورسولیک را بر بیان ژنی سایتوکین‌های پیش التهابی مانند *Cox2* و *iNOS* نیز تحقیقات مشابهی در رابطه با اثر ضد دردی و ضد التهابی عصاره گیاه مریم‌گلی پرداخته شد اما اختصاصاً در رابطه با اثر مهاری اسید اورسولیک بر بیان ژنی سایتوکین‌های پیش التهابی کار نشد. نتایج تحقیق ما نشان دادند زمانی که ما از طریق 20 ng/mL LPS مدلی شبیه به استئوارتیریت را در سلول‌های ساینوفیست و $\text{THP}-1$ را ایجاد کردیم و با داروی ضد التهاب استروئیدی و ضد استروئیدی (شاهد مثبت) و دارونما (شاهد منفی) تیمار کردیم، اسید اورسولیک با غلظت ۱ میکروگرم در میلی لیتر باعث کاهش بیان ژنی سایتوکین‌های پیش التهابی به این ترتیب می‌شود: ($\text{TNF}-\alpha$) $59/27$ درصد در ساینوفیست و $54/85$ درصد در $\text{THP}-1$, ($\text{IL}-1\beta$) $47/9$ درصد، ($\text{IL}-18$) $34/59$ درصد، ($iNOS$) $55/5$ درصد، درصد،

استئوارتیریت یک بیماری ناتوان‌کننده و پیشرونده است و عواملی مانند سن، ژنتیک، تروما، چاقی، باعث افزایش استرس بیومکانیک بر مفاصلی که درگیر هستند، می‌شود. افزایش ضخامت استخوان در مفصل ممکن است منجر به برهم ریختن تعادل کاتابولیک در سطح مولکولی شود. استئوارتیریت دژنراتیوں پیشرونده غضروف در فضای مفصلی است که منجر به محدود شدن فضای مفصلی، درد، محدود شدن حرکت، بی‌ثباتی و ناتوانی و درنتیجه باعث ایجاد مشکلاتی در مفاصل انگشتان دست، انگشتان پا، گردن، پشت، لگن و ران می‌شود [۳۴، ۳۵]. استئوارتیریت عمدها در افراد مسن دیده می‌شود و منجر به ناتوانی جسمی و افزایش هزینه‌های درمانی می‌شود [۳۶]. این بیماری از طریق التهاب غشاء سینوویال و تخرب مفصل غضروفی و استخوان شناسایی می‌شود [۳۷]. از بین رفتن کامل غضروف‌ها باعث تحریک استخوان‌سازی به صورت برآمدگی‌های استخوانی به نام استئوفیت و اسکلروز (ضخیم‌تر شدن) در لبه‌های استخوانی ساب کندرال می‌شود و منجر به تشکیل کیست‌هایی در این ناحیه می‌شود [۳۷].

در این تحقیق ما به بررسی اثر ضدالتهابی اسید اورسولیک در سلول‌های مبتلا به استئوارتیریت پرداختیم. اسید اورسولیک باعث کاهش بیان ژنی سایتوکین‌های پیش التهابی می‌شود و چون این سایتوکین‌ها نقش مؤثری در ایجاد و تشدید التهاب دارند بنابراین اسید اورسولیک با کاهش بیان این سایتوکین‌ها منجر به کاهش التهاب می‌شود. تحقیقات وسیعی توسط محققان داخلی و خارجی در این زمینه انجام شد که به بیان تعدادی از آنها می‌پردازیم. گزارش‌های اخیر نشان می‌دهد اسید اورسولیک در پاسخ به عوامل التهابی، فاکتورهای تنظیم‌کننده نسخه‌برداری *NFK-B* را مهار می‌کند و باعث کاهش التهاب می‌شود [۳۸]. *Shishodia* و همکارانش مهار *TNF-α* القایی از *NF-kB* را توسط اورسولیک اسید در تومورهای مختلف نشان دادند [۳۹]. در مطالعه‌ای *Freitas* و *Maia* نشان دادند اسید داورسولیک باعث کاهش التهاب در تست فرمالین و کاهش درد ناشی از سینمالدئید می‌شود [۴۰]. *Liu* و همکارانش اثر مهاری اسید اورسولیک را بر بیان ژنی



نظرات و پیشنهادات

از آنجا که حوزه بررسی ما در سطح سلولی بوده است به منظور استفاده کارآمد اسید اورسولیک در زمینه التهاب، روش‌های زیر پیشنهاد می‌شود. ۱- بررسی مکانیسم کاهش بیان ایترولوکین‌ها و سایتوکین‌های پیش التهابی، که الان در دانشگاه ری در حال انجام است. ۲- استفاده از این گیاه برای درمان موش‌هایی که مبتلا به استئوارتریت هستند. ۳- در صورت تأیید مرحله دوم با موافقت دانشکده پزشکی این آزمایش بر روی انسان مبتلا به استئوارتریت انجام شود.

(*COX1, COX2*) به ترتیب ۵۲/۴۶ و ۳۹/۹. با کاهش این سایتوکین‌ها التهاب کاهش می‌ابد. مقایسه نتایج تحقیق ما و دیگر محققین، اثر مهاری اسید اورسولیک را بر کاهش بیان ثنی سایتوکین‌های پیش التهابی ثابت می‌کند.

نتیجه گیری

نتایج به دست آمده از این تحقیق نشان می‌دهد که اسید اورسولیک از طریق کاهش بیان سایتوکارین‌های پیش التهابی در مدلی شبیه به استئوارتریت می‌تواند باعث روند بهبودی بیماری شود و برای این منظور بررسی آن در شرایط *in-vivo* توصیه می‌شود.

منابع

1. Ferrero ML, Nielsen OH, Andersen PS, Girardin SE and Nielsen Andersen. Chronic inflammation: Importance of NOD2 and NALP3 in interleukin-1beta generation. *Clin. Exp. Immunol.* 2007; 147 (2): 227-35.
2. Abbas AK, Lichtman AH, Pillai S. Basic immunology: functions and disorders of the immune system. Elsevier Health Sciences; 2014.
3. Allijn IE, Vaessen SFC, Quarles van Ufford LC, Beukelman KJ, de Winther MPJ, Storm G and et al. Head-to-Head comparison of antiinflammatory performance of known natural products in vitro. *PLoS ONE* 2016; 11 (5): 0155325.
4. Goldring MB. The role of the chondrocyte in osteoarthritis. *Arthritis Rheum.* 2000; 43 (9): 1916e26.
5. Goldring SR and Goldring MB. The role of cytokines in cartilage matrix degeneration in osteoarthritis. *Clin. Orthop.* 2004; 427 (Suppl): S27e36.
6. Mastbergen SC, Lafeber FP and Bijlsma JW. Selective COX-2 inhibition prevents proinflammatory cytokine-induced cartilage damage. *Rheumatology (Oxford)* 2002; 41 (7): 801e8.
7. Zargari A. Medical Plants. Tehran University Publications. 1997, Vol.3, sixth edition, pp: 243-244.
8. Medzhitov R. Origin and physiological roles of inflammation. *Nature* 2008; 454 (7203): 428-35.
9. Fardet L, Flahault A, Kettaneh A, Tieb KP, Généreau T, Tolédano C and et al. Corticosteroid-induced clinical adverse events: Frequency, risk factors and patient's opinion. *Br. J. Dermatol.* 2007; 157 (1): 142-8.
10. Barnes PJ. Anti-inflammatory actions of glucocorticoids: Molecular mechanisms. *Clin. Sci. (Lond)* 1998; 94 (6): 557-72.
11. Raphael TJ and Kuttan G. Effect of naturally occurring triterpenoids glycyrrhetic acid, ursolic acid, oleanolic acid and nomilin on the immune system. *Phytomedicine* 2003; 10 (6-7): 483-9.
12. Baricevic D, Sosa S, Della Loggia R, Tubaro A, Simonovska B, Krasna A and Zupancic A. Topical anti-inflammatory activity of *Salvia officinalis* L. leaves: the relevance of ursolic acid. *J. Ethnopharmacol.* 2001 May 1; 75 (2-3): 125-32.
13. Arzi A, Sarkaki A, Aghel N, Nazari Z and Zarei Naserabadi M. The effect of *Salvia officinalis*. Hydroalcoholic extract on analgesic effect of morphine in rat. *Jundishapur Scientific Medical J.* 2011; 10: 506-12.



- 14.** ILKIU-VIDAL L.H. and et al. Ação de potenciais hidrogeniônicos no crescimento e produtividade de sálvia (*Salvia officinalis* L.). *Revista Brasileira de Plantas Medicinais* 2010; 12 (1): 43-7.
- 15.** Zargari A. Medical plants. Tehran: Tehran University Press. 2009, v. 4. pp: 59-64.
- 16.** Kim KA, Lee JS, Park HJ, Kim JW, Kim CJ, Shim IS, Kim NJ and Han SM Lim S. Inhibition of cytochrome P450 activities by oleanolic acid and ursolic acid in human liver microsomes. *Life Sci.* 2004; 74: 2769 - 2779.
- 17.** Sugiura T, Tominaga M, Katsuya H and Mizumura K. Bradykinin lowers the threshold temperature for heat activation of vanilloid receptor 1. *J. Neurophysiol.* 2002 Jul 1; 88 (1): 544-8.
- 18.** Melo GA, Fonseca JP, Oliveira Farinha Th, Pinho RJ, Damião MJ, Grespan R and et al. Anti-inflammatory activity of *Salvia officinalis* L. *J. Medicinal Plants Research* 2012; 6: 4934-39.
- 19.** Kintzios S.E. Medicinal and aromatic plants industrial profiles, Sage, The Genus *Salvia*, Harwood Academic Publishers, The Netherlands. vol. 27. 2000, pp: 10-15.
- 20.** Aleebrahim-Dehkordy E, Bahmani M and Rafieian-Kopaei M. Phytochemical, pharmacological, and biochemical characteristics of essential oil of some *Salvia* L. species. *J. Chemical and Pharmaceutical Sciences* 2016; 9 (4): 3395-402.
- 21.** Liu J. Pharmacology of oleanolic acid and ursolic acid. *J. Ethnopharmacol.* 1995; 49: 57-68.
- 22.** Fan JP, Kong T, Zhang XH, Zhang L, Tong S, Tian ZY and et al. Solubilities of oleanolic acid and ursolic acid in (ethanol + water) mixed solvents from T = (292.2 to 328.2) K. *J. Chem. Thermodynamics* 2012; 47: 372-75.
- 23.** Kashyap D, Tuli HS and Sharma AK. Ursolic acid (UA): A metabolite with promising therapeutic potential. *Life Sci.* 2016; 146: 201-13.
- 24.** Pollier J and Goossens A. Oleanolic acid. *Phytochemistry* 2012; 77: 10-5.
- 25.** Maghsoudi H., Hallajzadeh J. and Rezaeipour M. Evaluation of the effect of polyphenol of escin compared with ibuprofen and dexamethasone in synoviocyte model for osteoarthritis: an in vitro study. *Clinical Rheumatol.* 2018; 37 (9): 2471-2478.
- 26.** Maghsoudi H and Haj-allahyari S. Down regulation of COX-2, IL-1 β , TNF- α in cynoviocyte by essential oil of *Fraxinus excelsior*. *International Journal of Contemporary Research and Review.* 2018 Mar 8; 9 (03): 20192-203.
- 27.** Zvaifler NJ, Marinova-Mutafchieva L, Adams G, Edwards CJ, Moss J, Burger JA and Maini RN. Mesenchymal precursor cells in the blood of normal individuals. *Arthritis Research & Therapy* 2000 Sep; 2 (6): 477.
- 28.** Fernández-Real JM, Broch M, Richart C, Vendrell J, López-Bermejo A and Ricart W. CD14 monocyte receptor, involved in the inflammatory cascade, and insulin sensitivity. *The Journal of Clinical Endocrinology & Metabolism.* 2003 Apr 1; 88 (4): 1780-4.
- 29.** Stockert JC, Blázquez-Castro A, Cañete M, Horobin RW and Villanueva Á. MTT assay for cell viability: Intracellular localization of the formazan product is in lipid droplets. *Acta Histochemica.* 2012 Dec 1; 114 (8): 785-96.
- 30.** Ngkelo A, Meja K, Yeadon M, Adcock I and Kirkham PA. LPS induced inflammatory responses in human peripheral blood mononuclear cells is mediated through NOX4 and G i α dependent PI-3kinase signalling. *J. Inflammation* 2012 Dec; 9 (1): 1.
- 31.** eong YH, Oh YC, Cho WK, Shin H, Lee KY and Ma JY. Anti-inflammatory effects of *Viola yedoensis* and the application of cell extraction methods for investigating bioactive constituents in macrophages. *BMC Complementary and Alternative Medicine* 2016 Dec; 16 (1): 180.

- 32.** Padumadasa C, Dharmadana D, Abeysekera A and Thammitiyagodage M. In vitro antioxidant, anti-inflammatory and anticancer activities of ethyl acetate soluble proanthocyanidins of the inflorescence of *Cocos nucifera* L. *BMC Complementary and Alternative Medicine* 2016 Dec; 16 (1): 345.
- 33.** Tevfik DM. Real-time PCR.-Taylor.chapter 2006, 1; 1-29.
- 34.** Martel-Pelletier J and Pelletier JP. Is osteoarthritis a disease involving only cartilage or other articular tissues. *Eklem Hastalik Cerrahisi*. 2010 Apr; 21 (1): 2-14.
- 35.** Buckwalter JA, Saltzman C and Brown T. The impact of osteoarthritis: implications for research. *Clinical Orthopaedics and Related Research* (1976-2007). 2004 Oct 1; 427: S6-15.
- 36.** Sharma L. Osteoarthritis C. treatment. InPrimer on the Rheumatic Diseases: Thirteenth Edition 2008. Springer New York.
- 37.** Klippe JH, Stone JH and White PH. Primer on the rheumatic diseases. Springer Science & Business Media; 2008 Jan 23. 226.
- 38.** Maia JL, Lima-Júnior RC, Melo CM, David JP, David JM, Campos AR, Santos FA and Rao VS. Oleanolic acid, a pentacyclic triterpene attenuates capsaicin-induced nociception in mice: possible mechanisms. *Pharmacological Res.* 2006 Oct 1; 54 (4): 282-6.
- 39.** Shishodia S, Majumdar S, Banerjee S and Aggarwal BB. Ursolic acid inhibits nuclear factor- κ B activation induced by carcinogenic agents through suppression of I κ B α kinase and p65 phosphorylation: correlation with down-regulation of cyclooxygenase 2, matrix metalloproteinase 9, and cyclin D1. *Cancer Res.* 2003 Aug 1; 63 (15): 4375-83.
- 40.** Freitas CS, Baggio CH, Dos Santos AC, Mayer B, Twardowschy A, Luiz AP, Marcon R, Soldi C, Pizzolatti MG, Dos Santos EP and Marques MC. Antinociceptive properties of the hydroalcoholic extract, fractions and compounds obtained from the aerial parts of Baccharis illinita DC in mice. *Basic & Clinical Pharmacology & Toxicol.* 2009 Apr; 104 (4): 285-92.
- 41.** Liu Y, Huang X, Li Y, Li C, Hu X, Xue C, Meng F and Zhou P. Ursolic acid promotes robust tolerance to cardiac allografts in mice. *Clinical & Experimental Immunol.* 2011 May; 164 (2): 282-8.
- 42.** Vasconcelos MA, Royo VA, Ferreira DS, Crotti AE, e Silva ML, Carvalho JC, Bastos JK and Cunha WR. In vivo analgesic and anti-inflammatory activities of ursolic acid and oleanolic acid from *Miconia albicans* (Melastomataceae). *Zeitschrift für Naturforschung C*. 2006 Aug 1; 61 (7-8): 477-82.
- 43.** Baricevic D, Sosa S, Della Loggia R, Tubaro A, Simonovska B, Krasna A and Zupancic A. Topical anti-inflammatory activity of *Salvia officinalis* L. leaves: the relevance of ursolic acid. *J. Ethnopharmacol.* 2001 May 1; 75 (2-3): 125-32.
- 44.** Nataraj A, Raghavendra Gowda CD, Rajesh R and Vishwanath BS. Group IIA secretory PLA2 inhibition by ursolic acid: a potent anti-inflammatory molecule. *Current Topics in Medicinal Chem.* 2007 Apr 1; 7 (8): 801-9.
- 45.** Lu J, Wu DM, Zheng YL, Hu B, Zhang ZF, Ye Q and et al. Ursolic acid attenuates D-galactose-induced inflammatory response in mouse prefrontal cortex through inhibiting AGEs/RAGE/NF-B pathway activation. *Cereb Cortex* 2010; 20 (11): 2540.